

(HUANJING KEXUE)

ENVIRONMENTAL SCIENCE

第37卷 第9期

Vol.37 No.9

2016

中国科学院生态环境研究中心 主办

科学出版社出版



ENVIRONMENTAL SCIENCE

第37卷 第9期 2016年9月15日

目 次

1960~2013年我国霾污染的时空变化····································
太原大气颗粒物中水溶性无机离子质量浓度及粒径分布特征 王璐,温天雪,苗红妍,高文康,王跃思(3249)
石家庄秋李一次典型霾万朵过程水浴性禺于粒径分布特征····································
南京北郊大气颗粒物的粒径分布及其影响因素分析。
上海崇明地区大气分形态汞污染特征 李舒,高伟,王书肖,张磊,李智坚,王龙,郝吉明(3290)
三峡库区典型农田系统大气汞浓度及不同自然界面释汞通量 王永敏, 赵铮, 孙涛,王娅,薛金平,张成,王定勇(3300)
长白山背景站大气 VOCs 浓度变化特征及来源分析 吴方堃,孙杰,余晔,唐贵谦,王跃思(3308)
铅冶炼厂尤组织排放源不问颗粒物甲铅含量特征 ····································
三峡库区典型农田系统大气汞浓度及不同自然界面释汞通量 · · · · · 王永敏, 赵铮, 孙涛, 王娅, 薛金平, 张成, 王定勇 (3300) 长白山背景站大气 VOCs 浓度变化特征及来源分析 · · · · · 吴方堃, 孙杰, 余晔, 唐贵谦, 王跃思 (3308) 铅冶炼厂无组织排放源不同颗粒物中铅含量特征 · · · · · · · · · · · · · · · · · · ·
太湖不同富营养化水域砷的分布特征及其环境影响因素 车霏霏,王大鹏,甄卓,颜昌宙,王灶生(3340)
太湖不同富营养化水域砷的分布特征及其环境影响因素 车霏霏,王大鹏,甄卓,颜昌宙,王灶生(3340) 太湖表层沉积物中 PPCPs 的时空分布特征及潜在风险
岩溶地下河系统中有机氯的分布特征与来源分析 张媚,孙玉川,谢正兰,余琴,徐昕(3356)
西南典型岩溶地下河系统水文地球化学特征对比:以重庆市青木关、老龙洞为例
一个一个一个一个一个一个一个一个一个一个一个一个一个一个一个一个一个一个一个
不同水源补给情形的溪流沟渠沉积物磷形态及释放风险分析 ····································
荧光光谱结合平行因子分析研究夏季周村水库溶解性有机物的分布与来源····································
雷营养化水体中黑水团的吸收及反射特性分析 ····································
基于微生物生物完整性指数的地下水生态系统健康评价,以包钢稀土尾矿库周边地下水生态系统为例
安新丽,陈廷廷,赵晗,张又弛,侯艳伟,蔡超(3413) 于桥水库水源地水体沉积物重金属空间分异与景观格局的关系 ····· 王祖伟,王祎玮,侯迎晚,勉姗,王子璐,王倩倩(3423)
于桥水库水源地水体沉积物重金属空间分异与景观格局的天系 ····· 土租伟,土伟玮,疾迎迎,包姗姗,土于塅,土情情(3423)
八上碰地鬥型內小厂乔姐及小呂氮石架初和加生系云际影响 ····································
模拟水体硝态泵对黄菖蒲生长及其氯吸收的影响
对羟基联苯在黄河兰州段底泥上的吸附行为
于桥水库水源地水体沉积物重金属空间分异与景观格局的关系 王祖传,王祎玮,侯迎迎,包姗姗,王子璐,王倩倩(3423)人工湿地构型对水产养殖废水含氮污染物和抗生素去除影响
某微污染水源自来水厂的纳滤深度处理效果研究 吴玉超,陈吕军,兰亚琼,刘锐(3466)
Fe ⁰ -PRB 去除Cr(Ⅵ)反应动力学及影响机制 ················· 卢欣,李淼,唐翠梅,辛佳,林朋飞,刘翔(3473)
EDTA-nSiO ₂ 纳米颗粒对 Cd ²⁺ 的吸附
EDTA-nSiO ₂ 纳米颗粒对 Cd ²⁺ 的吸附
人上台风水铁炉刈含解废水的吸附性能
生物佛有人工企地处理力取补循种优水性能 "************************************
光催化体系中噻虫胺降解动力学及机制 胡倩.阳海.石妮.胡乐天.易兵(3524)
宁夏干旱地区工业区对农田土壤重金属累积的影响
红壤剖面重金属分布特征及对有机碳响应 … 贾广梅,马玲玲,徐殿斗,成杭新,周国华,杨国胜,罗敏,路雨楠,刘志明(3547)
外源锌刺激下水稻对土壤镉的累积效应 ····································
以性生物灰材料对稻田原状和外源锅污染土钯化效应 ············ 物三, 学水, 土自全, 刈倾城, 张庆冲, 目垢, 学一 ↓ (3562) - 什物淋漓联合类 Forton 反应土险污染土壤由重合属的效果 ············ 周並維 严媚 会雲 工程器 失艾 周顺柱 (3575)
上初价临场百天 Felloll 及应云际行来工场中里壶周的双木 ************************************
应用 PLFA 法分析氦沉降对缙云山马尾松林土壤微牛物群落结构的影响
生物淋滤联合类 Fenton 反应去除污染土壤中重金属的效果
外源氮、硫添加对闽江河口湿地 CH_4 、 CO_2 排放的短期影响
模拟条件下侵蚀-沉积部位土壤 CO ₂
一位,不是一个一个一个一个一个一个一个一个一个一个一个一个一个一个一个一个一个一个一个
太原晋祠地区果园土壤呼吸的年际变化及其温度敏感性 … 严俊霞, 郝忠, 荆雪锴, 李洪建 (3625) 生物炭对塿土土壤温室气体及土壤理化性质的影响 … 王月玲, 耿增超, 王强, 尚杰, 曹胜磊, 周凤, 李鑫, 刘福义, 张萍 (3634)
氮沉降对臭氧胁迫下青杨光合特性和生物量的影响 辛月,尚博,陈兴玲,冯兆忠(3642)
冠层辐射温度对冬小麦生态系统碳通量的影响 李洪建,杨艳,严俊霞(3650)
短层辐射温度对冬小麦生态系统碳通量的影响 辛月,尚博,陈兴玲,冯兆忠(3642) 冠层辐射温度对冬小麦生态系统碳通量的影响 李洪建,杨艳,严俊霞(3650) 堆肥过程水溶性有机物组成和结构演化研究 李丹,何小松,席北斗,高如泰,张慧,黄彩红,党秋玲(3660) 酸碱改性活性炭及其对甲苯吸附的影响 刘寒冰,杨兵,薛南冬(3670)
曖巇 攻性活性灰及具对甲本吸附的影响
《环境科学》征订启事(3517) 《环境科学》征稿简则(3561) 信息(3289,3321,3422)

宁夏干旱地区工业区对农田土壤重金属累积的影响

王美娥,彭驰,陈卫平*

(中国科学院生态环境研究中心城市与区域生态国家重点实验室,北京 100085)

摘要:随着我国东部沿海地区产业向中西部地区转移,曾经被冠以"净土"的西北干旱地区受到了工业排放污染的威胁.本文以宁夏某县枸杞种植地为研究对象,采用 GIS 技术,以工业区为中心,结合当地主导风向,沿着黄河进行带状布点采样,分析工业区的建立对农田土壤重金属 Zn、Cr、Ni、Mn、Co、Cu、Cd、Pb 污染的影响.结果表明,研究区农田土壤重金属累积程度较轻,只有少数样点发生人为 Zn 和 Cd 累积;工业区土壤中除了 Ni 元素以外,其它 7 种元素都有累积,其中 Cd 元素浓度达到污染水平的样点占总样点数三分之一.空间分布格局分析结果表明,枸杞地土壤中 Cd、Zn、Cu、Mn 和 Pb 等 5 种元素的分布与工业区位置有较强的相关性.从土壤重金属含量的角度来看,研究区的工业区影响还未造成枸杞地土壤重金属污染,并且由于该区域土壤的 pH 值普遍较高(平均 pH 值为 8.54),因此,可以认为目前还不存在农田土壤重金属污染问题.但是工业区对农田土壤中重金属累积趋势的影响较为明显.此外,工业区对灌溉水中重金属元素的浓度也有一定影响.

关键词:西北干旱区;工业排放;枸杞;土壤重金属污染;空间格局

中图分类号: X53 文献标识码: A 文章编号: 0250-3301(2016)09-3532-08 DOI: 10.13227/j. hjkx. 2016. 09.035

Impacts of Industrial Zone in Arid Area in Ningxia Province on the Accumulation of Heavy Metals in Agricultural Soils

WANG Mei-e, PENG Chi, CHEN Wei-ping*

(State Key Laboratory of Urban and Regional Ecology, Research Center for Eco-Environmental Sciences, Chinese Academy of Sciences, Beijing 100085, China)

Abstract: With the transferring of the industry from the east coastal regions of China to the mid and west regions, those places once called "Clean Earth" in the arid north-west region are facing the contamination risks by industrial emission. In order to study the impacts of the industrial zone on the accumulation of heavy metals Zn, Cr, Ni, Mn, Co, Cu, Cd, Pb in agricultural soils, we collected the agricultural soil samples in a county in Ningxia province using GIS technology. Samples were collected in a belt way along the yellow river and expanding from the industrial zone as the center according to the main local wind direction. It was suggested that the accumulation of heavy metals in studied agricultural soils was slight. High accumulation of Zn and Cd only occurred in several sites. However, the accumulation of heavy metals in industrial zone was more apparent. Except for Ni, the rest 7 elements had obvious accumulation. One third of the sites had Cd concentration at contamination level. The spatial analysis revealed that the distributions of Cd, Zn, Cu, Mn, and Pb were closely related to the location of industrial zone. Industrial zone had not caused the contamination of heavy metals in agricultural soils yet. Due to the high pH value (average pH value of 8.54), no soil contamination issue was found at present. However, the impacts of industrial zone on the accumulation of heavy metals in agricultural soils were apparent. The input pathway of heavy metals into agricultural soils was mainly dust deposition. The industrial zone also increased the heavy metal concentrations in irrigation water to some extent.

Key words: arid area in north-west region; industrial emission; wolfberry; soil heavy metal contamination; spatial distribution

2010年前后对宁夏及银川盆地土壤重金属调查结果发现,除了Cd平均含量略高以外,其它重金属元素如Pb、As、Cu、Zn、Cr等含量都与土壤背景值相仿,研究者们冠以宁夏地区为"净土"[1~5]. 2010年9月国务院正式印发了《国务院关于中西部地区承接产业转移的指导意见》,促进我国东部沿海地区产业向中西部地区转移,同时也引发了东部高污染企业向西部转移,使西部环境问题面临了新的挑战^[2].对西北干旱内陆承接东部高污染企业集中区的环境污染研究也成了当前国内环境科学研究和管理领域的热点.

工业污染是城市发展过程中的主要环境问题, 工业"三废"排放使水体和土壤受到了不同程度污染.工业区土壤中重金属元素 Cd、Pb、Cu、Zn、Cr、Ni 等浓度远远超过非工业区对照土壤,并能够在水和蔬菜中累积,从而进入食物链而影响人群健康^[6~9].多年土壤普查结果表明,我国农业用地土壤重金属污染状况较轻,土壤环境质量总体较好,但

收稿日期: 2016-03-22; 修订日期: 2016-04-27

基金项目: 城市 与 区域 生态 国 家 重 点 实 验 室 自 主 项 目 (SKLURE2013-1-04)

作者简介: 王美娥(1975~), 女, 博士, 副教授, 主要研究方向为土壤 污染生态风险评价, E-mail: mewang@ rcees. ac. cn

* 通讯联系人, E-mail: wpchen@rcees. ac. cn

是农业用地土壤重金属累积趋势明显,其中工矿区周围农业用地为重金属超标的高风险区域^[10~16].西部干旱地区少雨多风沙的气候特征导致工业区对土壤的重金属污染主要通过烟尘扩散途径.樊新刚等^[17]对宁夏石嘴山工业区土壤污染分布的研究结果发现,主导风向是土壤重金属含量空间格局形成的主要因素,工业园区内土壤重金属的空间格局呈明显岛状分布,主要由局地地形、企业分布、烟尘沉降形成.大气沉降是工业区污染源的主要污染途径,许多研究结果表明,大气干湿沉降样品的重金属含量明显高于土壤表层的背景值^[18,19].

土壤重金属污染物识别、来源分析以及污染程度评估是土壤污染物调查分析的重要内容. 地质累积系数法(index of geoaccumulation, I_{geo})是 20 世纪 60 年代由 Muller^[20]提出用于评价沉积物污染水平的一种方法,当前被广泛应用于评价土壤重金属累积状况,该方法的关键是选择恰当的地质背景值为参考值,通过与参考值相比来确定土壤重金属污染物累积程度. 此外,多元分析和 GIS 技术被广泛用于土壤污染物识别与来源分析^[19,21-27].

本文以宁夏某典型枸杞种植县为研究对象,研究区拥有"中国枸杞之乡"美誉,具有600多年的人工栽培枸杞历史,早在公元1501年,该地所产的枸杞就被列为贡品上贡朝廷. 当地枸杞种植面积达20多万亩,围绕枸杞种植、加工、销售形成了当地的支柱产业,枸杞年总产值超过30余亿元. 通过对枸杞种植地土壤的采样分析,结合工业区土壤与灌溉水相应重金属含量调查,分析工业区对枸杞种植地土壤环境质量的影响,以期为当地农产品生产安全及经济发展规划提供基础数据.

1 材料与方法

1.1 样品采集

由于研究区域的工业区主要分布在黄河北岸, 因此,采样点布置按照以黄河为中心的条带分布为 主,分别距离黄河 1、3、9、15 和 21 km 的条带分 布,其中 1 km 条带分别为距离黄河北岸与南岸 1 km,共布置 6 条样带,每条样带按照间隔 1 km 布置 样点,但是由于实际枸杞种植地块的分布,各个样带 所能布置的样点不一致.结合不同经营模式(散户 和公司集中),样点分布如图 1 所示.公司集中经营 基地采集样点为 94 个,散户样点为 50 个,共采集 144 个枸杞地土壤样品,每个土壤样品对应一个枸 杞鲜果混合样品;同时根据灌溉水网络,按照灌溉 水片区采集水样 13 个. 散户样品较为分散,而公司集中经营的枸杞种植基地由于连接成片,有些区域样点分布较为密集,如鸣沙镇、恩和镇以及大战场乡等地区的公司基地较为集中;但是沿着黄河两岸,公司和散户穿插分布,在远离工业区的喊叫水乡和徐涛乡作为对照样点,由于这两个乡枸杞种植面积较小,因此只能分别采集到 1 个样点的混合样品.

工业区采样点如图 1 所示,根据工业区带状道路分布特征,样点布置沿着道路成带状分布,每条采样带样点之间距离为 2 km,共采集工业区土壤样点共为 50 个.

每个样点按照 2 m×2 m 矩形 5 点混合法采集 土壤样品.

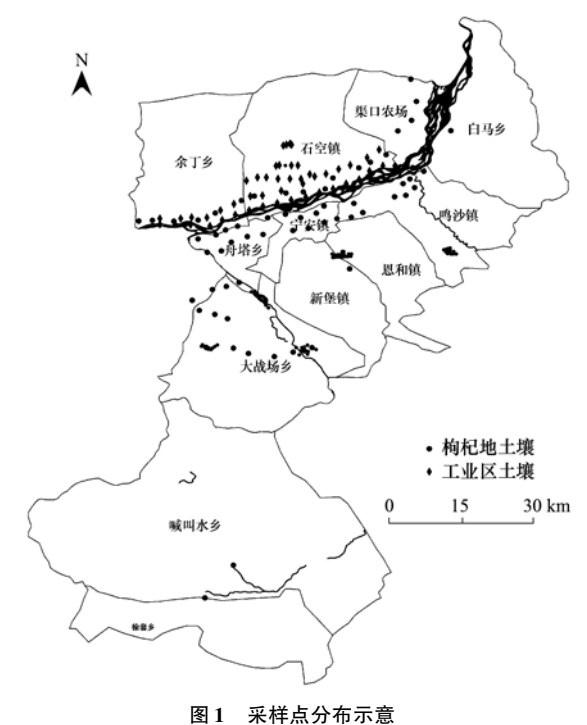


图 1 米件总分布示息

Fig. 1 Sampling map

1.2 样品化学分析

土壤样品在室内风干后,除去土样中石子和动植物残体等异物,用木棒碾压,碎土混匀后过2 mm 尼龙筛. 再取其中一部分过2 mm 筛的土壤继续用玛瑙研钵研磨,通过100 目尼龙筛混匀后备用.

1.2.1 土壤 pH 的测定

土壤悬浊液的配制. 用分析天平(精确到小数点后 2 位)称取过 2 mm 筛的风干土壤 4.00 g,放入 50 mL 聚乙烯离心管中,用 50 mL 注射器加入 10 mL 无 CO_2 蒸馏水,用玻璃棒剧烈搅拌 $1\sim 2$ min,静置 30 min 后用 SevenEasy pH 仪 (Mettler Toledo, GmbH)测定.

1.2.2 土壤、灌溉水重金属元素的提取测定

土壤重金属分析:采用四酸法电热板加热法消 解. 称取通过100目筛的土壤样品0.25g于聚四氟 乙烯坩锅中,用少量超纯水润湿加入 10 mL HCl 放 置过夜. 分别加入 3 mL HF、3 mL HNO3、1 mL HClO₄,放置电热板上消解至大量白烟冒出,蒸至近 干,重复加入 HNO, 和氢氟酸 1~2次,直至样品呈 晶体状时地转移至 50 mL 比色管中定容. 用注射器 吸取 5 mL 比色管中已定容溶液,加滤膜过滤至新的 50 mL 比色管中, 定容后转移至 10 mL 离心管中冷 藏待测.

水样分析采用微波消解,ICP-MS 测定,质量控

制采用空白加标法.

用电感耦合等离子体发射光谱仪(ICP-AES)测 定 Zn、Cr、Ni、Mn、Co 的含量,测定 Cu、Cd 和 Pb 采用 ICP-MS. 每批样设置 3 个空白对照、10% 样品 的重复和3个标准物质,其中标准物质使用国家土 壤标准物质 GSS-5 进行质量控制.

1.3 地质累积指数计算

地质累积指数计算公式如下:

$$I_{\text{seo}} = \log_2(C_n/1.5B_n) \tag{1}$$

式中, C_n 为土壤重金属含量, B_n 为地质背景值,1.5为修正系数. 根据地质累积系数的土壤污染程度分 级如表1所示.

表 1 地质累积系数 (I_{geo}) 分级

Table 1 Grading of geoaccumulation index ($I_{\rm geo}$)

项目	无污染	轻微污染	轻度污染	中度污染	重度污染	严重污染	极严重污染
$I_{ m geo}$	≤0	0 ~ 1	1 ~2	2 ~ 3	3 ~4	4 ~ 5	≥5

1.4 数据分析

采样点分布图以及重金属含量的空间格局采用 ArcGIS 10.0 软件,其中空间格局采用普通克里金插 值法. 其它统计分析如因子分析、方差分析采用 SPSS 18.0.

2 结果与分析

2.1 统计分析与比较

对研究区枸杞地和工业区土壤的重金属元素分 析结果如表2所示,首先,对于枸杞地土壤来说,Ni、

表 2 枸杞地、工业区土壤重金属浓度与宁夏土壤元素背景值比较1) Table 2 Comparison of concentrations of heavy metals between soils of melar field and industry and the background values in Ningxia

重金属	项目	n	Min	25%	50%	75%	Max	Mean	SD
	枸杞地	147	41.6	51. 7	55.3	61. 7	115	56. 9	8. 48
Cr	工业区	49	48.4	58. 6	62.8	66. 4	325	70.5	40. 7
		29	35.0	52.8	50 0	63.2	72 1	60.0	6.06

	枸杞地	147	41.6	51. 7	55.3	61. 7	115	56. 9	8. 48
Cr	工业区	49	48.4	58. 6	62.8	66. 4	325	70. 5	40. 7
	背景值	29	35.0	52. 8	59.9	63. 2	72. 1	60.0	6.06
	枸杞地	147	30.4	49. 0	58.8	70. 6	289	67. 1	33. 0
Zn	工业区	49	51.7	66. 8	79.3	109	692	111	103
	背景值	29	19.3	40. 5	56.3	69. 6	99. 7	58. 8	17. 3
	枸杞地	147	18.9	25. 2	27.4	29. 9	55. 2	27. 8	4. 03
Ni	工业区	49	25.5	28. 7	30.8	32. 8	36. 3	30. 7	2. 74
	背景值	29	21.1	29. 5	38.3	41. 3	42. 8	36. 6	5. 64
	枸杞地	147	301	462	513	563	770	517	76. 4
Mn	工业区	49	348	539	602	725	1 299	636	172
	背景值	29	207	400	533	637	875	524	164
	枸杞地	143	0.035	0. 087	0. 128	0. 186	0. 422	0. 148	0. 081
Cd	工业区	49	0.081	0. 156	0. 203	0. 366	3. 41	0.364	0.514
	背景值	29	0.046	0.069	0.108	0. 145	0. 254	0.112	0.047
	枸杞地	147	9.68	25. 4	13. 2	15. 0	16. 5	15. 1	2. 58
Pb	工业区	49	11.8	19. 2	21.9	29. 6	328	34. 3	47. 7
	背景值	29	13.9	16. 3	19. 1	24. 1	29. 8	20.6	4. 41
	枸杞地	147	11.7	16. 3	18. 7	21. 2	49. 7	19. 5	5. 22
Cu	工业区	49	14.3	16. 8	18.5	20. 6	88. 6	21.6	11.3
	背景值	29	8.0	17. 0	21.5	28. 6	34. 1	22. 1	7. 10
	枸杞地	147	9.31	13. 2	14. 1	15. 4	20. 1	14. 3	1. 83
Co	工业区	49	10.6	15. 2	16.0	17. 1	41. 2	16. 9	4. 41
	背景值	29	5.8	11.0	12.6	14. 1	19. 2	12.6	2. 26

¹⁾背景值引用文献[28]

Mn、Pb、Cu 这 4 种元素的平均值和标准差都小于 1985 年宁夏地区背景值,Co 元素的平均值大于背景值,但是标准差比背景值小;而 Zn 和 Cd 这二种元素的平均值与标准差都大于背景值,Cr 的平均值小于背景值,标准差大于背景值;除了 Mn 和 Pb 元素以外,枸杞地土壤的其余元素的最大值都大于背景值的最大值,尤其是 Zn 元素的最大值约为背景值的 3 倍.

其次,工业区土壤除了 Ni 元素以外,其余重金属元素 Cr、Zn、Mn、Cd、Pb、Cu 和 Co 元素的最大值、平均值以及标准差都大于背景值,尤其是 Zn、Cd 这两种元素的所有统计分布值都超过了背景值,其中 Zn 的最大值为 692 mg·kg⁻¹超过了背景值最大值 99.7 mg·kg⁻¹的 6倍,平均值为为 111 mg·kg⁻¹约为背景值的 2倍; Cd 的最大值为 3.41 mg·kg⁻¹超过了背景值最大值 0.254 mg·kg⁻¹的 10倍,平均值是背景值的约为 3倍. 尽管工业区土壤的 Pb 元素含量的各个统计分布值与背景值相仿,但是最大值为 328 mg·kg⁻¹,约为背景值 29.8 mg·kg⁻¹的 10倍.与枸杞地土壤相比,工业区土壤中的所有重金属元素的浓度都大于枸杞地土壤.

獎新刚等[17] 对宁夏石嘴山工业园区表层土壤的调查结果发现,由于2009 年以后企业数量迅速增加及附近内蒙古另一高耗能工业园区的污染排放,园区表层土壤中 Cu、Zn、Pb、Cr、Cd 含量较1985年背景值有明显增加,其中 Cu 和 Cd 分别为背景值的19.1 倍和41.7 倍. 刘凤莲等[1] 对宁夏农村地区土壤 Cd 和 Pb 的调查结果发现,农村地区土壤 Cd和 Pb 平均值分别为0.187 mg·kg⁻¹和20.76 mg·kg⁻¹. 本次调查的结果表明,枸杞地土壤平均Cd和 Pb 含量均低于农村平均水平,分别为0.148 mg·kg⁻¹和15.1 mg·kg⁻¹,而工业区土壤中的Cd和Pb 含量尽管比石嘴山工业区土壤低,但是农村平均水平的2倍多,分别为0.364 mg·kg⁻¹和34.3 mg·kg⁻¹.

样本数据是否符合正态分布是评价土壤中重金属含量是否存在人为干扰的其中一个依据之一,当数据成非正态分布时,说明存在人为干扰. 采用偏度与峰度的计算及检验,偏度与峰度越接近0,正态分布特征约明显,而 K-S 检验为 $P \ge 0.05$ 时,样本数据来自正态分布,当 P < 0.05 时,样本数据来自非正态分布. 如表3 所示,枸杞地土壤中重金属 Zn、Cd 和 Cu 元素的 K-S 检验结果为显著,即非正态分布;而在工业区土壤中,Cr、Zn、Cd、Pb、Cu 和 Co

共6种重金属都成非正态分布.

以上结果表明,枸杞地土壤重金属累积特征与工业区土壤有很大差异,工业区土壤具有人为干扰累积的重金属种类较多,累积程度明显比枸杞地土壤高,Cd和Zn元素的累积在枸杞地土壤和工业区土壤中都较其它元素明显.

表 3 枸杞地与工业区土壤重金属元素含量的偏度 与峰度及正态性检验

Table 3 Skewness and Kurtosis and the normal test for the concentrations of heavy metals in Melar field and industry soils

concenti	ations of neav	y metais in mea	ar nera una ma	ustry sons
重金属	位置	偏度	峰度	P(K-S)
Cr	枸杞地	2. 49	14. 6	0. 211
CI	工业区	5. 60	33. 7	0. 000 **
Zn	枸杞地	3. 32	15. 3	0. 000 **
ZII	工业区	4. 28	21. 8	0. 000 **
Ni	枸杞地	2. 24	13. 6	0. 221
141	工业区	-0.036	- 0. 723	0.960
Mn	枸杞地	0. 203	0. 618	0. 973
	工业区	1. 68	4. 61	0.066
Cd	枸杞地	1. 16	1. 11	0. 008 **
Cu	工业区	4. 85	27. 5	0. 000 **
Pb	枸杞地	0. 743	1. 36	0. 284
	工业区	5. 31	31. 2	0. 000 **
Cu	枸杞地	2. 43	10. 3	0. 009 **
	工业区	4. 66	26. 1	0. 000 **
Со	枸杞地	0. 260	0. 833	0. 793
	工业区	4. 10	0. 668	0. 000 **

2.2 因子分析

基于元素之间相关关系的因子分析通常用来解释不同元素的同源性.如表4所示,枸杞地土壤的8种重金属元素可以分为2组:第一组为Cr、Zn、Ni、Mn、Co;第二组为Cd、Pb、Cu,同一组的元素相关性较强.根据与背景值比较结果和正态分布分析结果,枸杞地土壤中除了Zn和Cd的累积的人为干扰特征较为明显以外,其它元素的累积人为干扰特征

表 4 枸杞地土壤重金属元素浓度旋转后因子载荷1)

Table 4 Factor analysis for concentrations of heavy metals

in soils in Melar field						
重金属	1	2				
Cr	0. 896	-0.046				
Zn	0. 638	0.311				
Ni	0. 962	0.070				
Mn	0. 725	0. 551				
Cd	0. 052	0.788				
Pb	0. 428	0.803				
Cu	0.067	0.845				
Co	0. 914	0. 286				
特征值	4. 54	1.62				
方差/%	56. 7	20. 2				

¹⁾表中黑体字表示元素属于同一因子

都较弱,尤其 Pb 元素,不仅与背景值相比累积不明显,其元素含量分布也符合正态分布. 并且枸杞地土壤 Cd 元素平均含量比宁夏农村的平均水平低,因此,可以认为枸杞地土壤重金属人为原因累积程度较轻,因子分析的结果大部分与土壤的成土母质有关.

表 5 为工业区土壤重金属元素的因子分析结果.与枸杞地土壤重金属元素类似,工业区土壤重金属元素也可以分为 2 组:第一组为 Zn、Cd、Pb、Cu、Co;第二组为 Cr、Ni、Mn. 但是,除了 Pb、Cd、Cu 仍然在同一组以外,元素的分组特征与枸杞地土壤不同. 根据与背景值比较结果与正态分布分析结果,工业区土壤中的重金属元素除了 Ni 和 Mn 元素的人为累积特征较弱以外,其它 6 种元素的人为累积特征都很明显. 此外,由于 Cr 和 Ni 具有很强同源性,两者之间的相关性较强,因此一般都属于同一组. 因此,与枸杞地土壤相比,工业区土壤中的重金属元素的因子分析结果与背景值比较和正态分析结果较为一致,可以认为,元素工业区土壤中 Zn、Cd、

表 5 工业区土壤重金属元素因子分析结果1)

Table 5 Factor analysis for concentrations of heavy metals in soils in industrial zone

重金属	1	2
Cr	-0.048	0. 819
Zn	0. 947	0. 089
Ni	0. 123	0. 649
Mn	0. 559	0. 630
Cd	0. 970	0. 045
Pb	0. 973	0. 055
Cu	0. 959	0. 171
Co	0. 904	0. 345
特征值	4. 85	1. 65
方差/%	60. 6	20. 6

1)表中黑体字表示元素属于同一因子

Pb、Cu、Co来源于人为排放,而Cr、Ni、Mn 主要来源与成土母质有关.

2.3 地质累积系数

由于所有枸杞地土壤调查样点元素的平均地质 累积系数都小于0,即无污染水平,因此,只分析元 素最大累积系数的情况. 如表 6 所示, Zn 和 Cd 的 最大累积系数大于1,分别为1.78 和1.38; Co、Cr、 Cu 的最大累积系数大于 0 但是小于 1, 分别为 0.090、0.359和0.623;其它元素的最大累积系数 都小于0,即无污染. 进一步分析 Zn 和 Cd 元素累 积系数大于1的样点数发现,Zn的地质累积系数大 于1,即具有轻度污染的样点为3个,而Cd为6个, 分别只占样品总数的2%和4%左右(表6).与枸 杞地土壤相比,尽管工业区土壤元素中只有 Zn 和 Cd 的平均地质累积系数大于 0 而小于 1,其它元素 都小于0,但是最大地质累积系数大于1的元素较 多,Cd 元素最大为 4.40,达到了严重污染水平; 其 次为 Pb 和 Zn,分别为 3.52 和 3.04,达到了重度污 染水平; Co、Cr 和 Cu 元素的最大地质累积系数都 大于1,分别为1.12、1.85和1.46,达到了轻度污染 水平; 尽管工业区中有 Mn 冶炼厂, Mn 元素的最大 地质累积系数为 0.700, 即只达到轻微累积程度; Ni 元素的最大地质累积系数小于1.进一步对地质累 积系数大于1的样点数量进行统计,结果发现,Co、 Cr、Cu 这3 种元素的地质累积系数大于1 的样点都 只有一个, Zn 和 Pb 元素大于 1 的样点数分别为 6 个和5个;而Cd大于1的样点数最多,达到16个, 占总样点数的三分之一.

以上结果表明,枸杞地土壤重金属污染物累积程度较轻,相对枸杞地土壤,工业区土壤中重金属累积程度较高,其中 Cd 和 Zn 元素在枸杞地和工业区土壤中累积程度较其它元素高.

表 6 枸杞地及工业区土壤重金属元素最大地质累积系数

Table 6 Maximum geoaccumulation index in soils in Medlar field and industrial zone

项目	Со	Cr	Zn	Ni	Mn	Cd	Pb	Cu
枸杞地土壤	0.090	0. 359	1.78	-0.057	-0.053	1.38	-0.176	0. 623
≥ 1 样点数	/	/	3	/	/	6	/	/
工业区土壤	1. 12	1.85	3. 04	-0.661	0.700	4.40	3. 52	1.46
≥1样点数	1	1	6	/	/	16	5	1

2.4 枸杞地土壤重金属元素含量的空间分布格局对枸杞地土壤的8种重金属进行空间分布研究,如图2所示.枸杞地土壤重金属元素Cd、Zn、Cu、Mn、和Pb的空间分布都显示了北部比南部高的趋势,即越接近工业区,土壤中的元素含量越高

(图 2). 尤其在 Cd 元素的空间分布中可以看出高含量 Cd 的区域集中分布在黄河两岸,即工业区周围,而南部距离黄河 3 km 以外含量明显较低. Zn 元素的分布除了工业区周围以外,西部边缘自北向南,以及东部边缘一部分也较高. Zn 元素累积与城

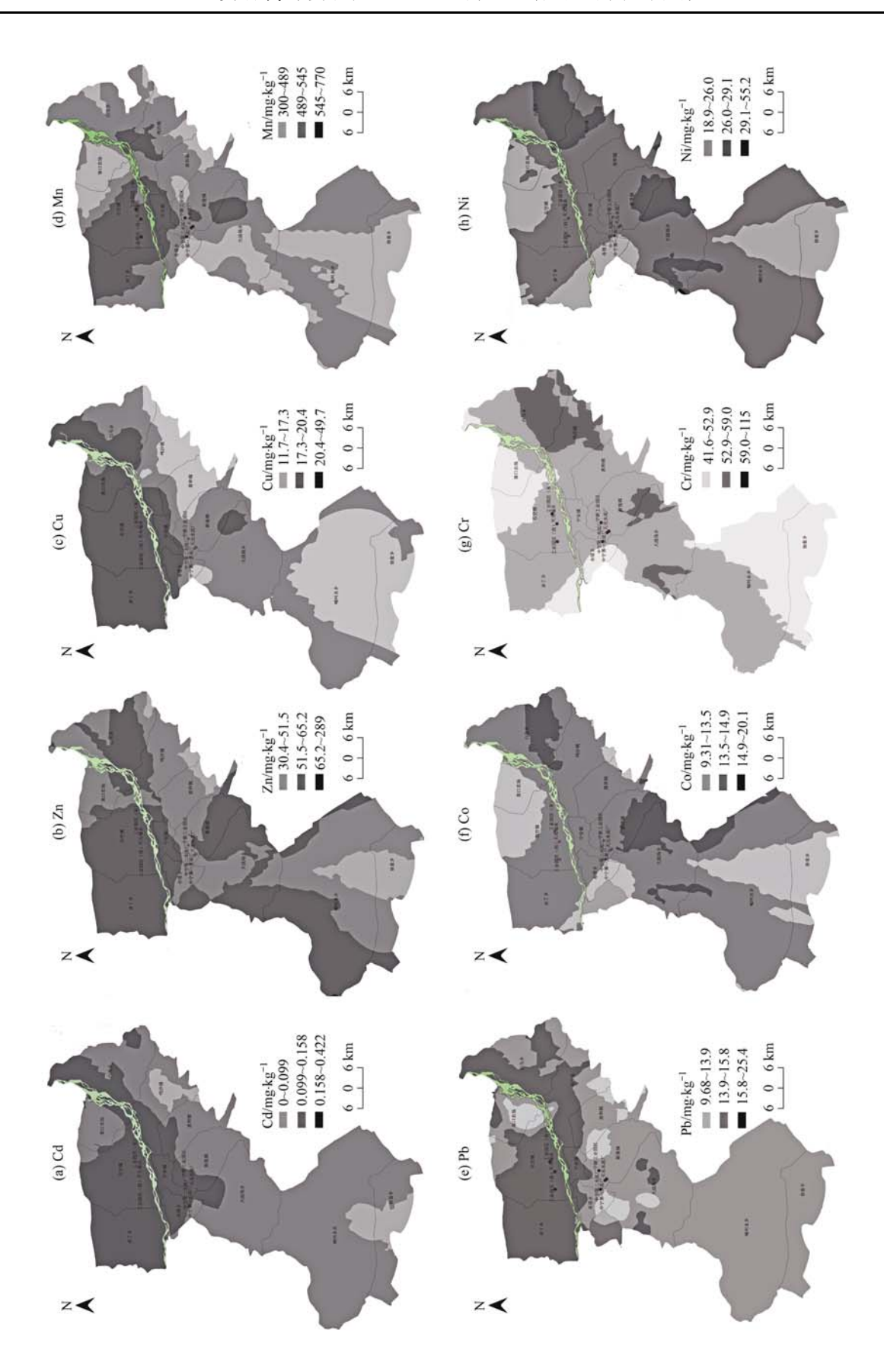


图 2 枸杞地土壤重金属的空间分布示意

Fig. 2 Spatial distribution of heavy metals in melar field

市发展最为密切,其中交通排放对 Zn 元素在土壤中的累积贡献较大. 较高含量 Cu、Mn 和 Pb 的分布区域几乎集中在工业区小范围之内.

Co、Cr、Ni 这 3 种元素通常与成土母质相关, 相对于其它 5 种元素,这 3 种元素的空间分布与工业区位置相关性较弱.

因此,尽管统计分析以及地质累积系数计算结果表明只有 Cd 与 Zn 元素在个别样点存在轻度污染,其它元素的累积较不明显,但是从空间分布图上可以看出,工业区对土壤重金属元素的累积具有一定的贡献,尤其对于 5 种与工业排放较为密切的元素,如 Cd、Zn、Cu、Mn 和 Pb 与工业区的空间位置存在较强的相关性.

2.5 枸杞地灌溉水中重金属含量分析

灌溉水是重金属输入农业用地土壤的一个重要途径.对研究区灌溉水中重金属元素的浓度分析如表7所示.农业用地灌溉水主要重金属元素的水质标准为:Cd 10 μg·L⁻¹, Cr 100 μg·L⁻¹, Pb 200 μg·L⁻¹, Cu 1000 μg·L⁻¹, Zn 2000μg·L⁻¹. 因此,所采集的灌溉水没有超过相应的重金属污染标准.然而,各种重金属元素浓度的标准差都较大,因此,可以认为不同样点的灌溉水重金属浓度差异较大.对灌溉水中的8种重金属总量进行空间分布分析(图3),结果发现:重金属总量浓度较高的样点有黄河北岸工业区附近的余丁乡和石空镇以及黄河南岸大战场乡.北岸共采集了4个样点的灌溉水,除了集口农场样点的灌溉水来自地下水以外,其它3个

样点的水样都为地表水,并且与工业区有关;而南岸大战场乡的灌溉水为中水,因此这些样点的重金属总量相对较高.进一步分析发现,灌溉水重金属含量与土壤重金属浓度之间相关性并不显著(数据未显示).因此,可以认为工业区对地表水中的重金属浓度有一定贡献,但是至今为止不是重金属输入农业用地土壤的主要途径.

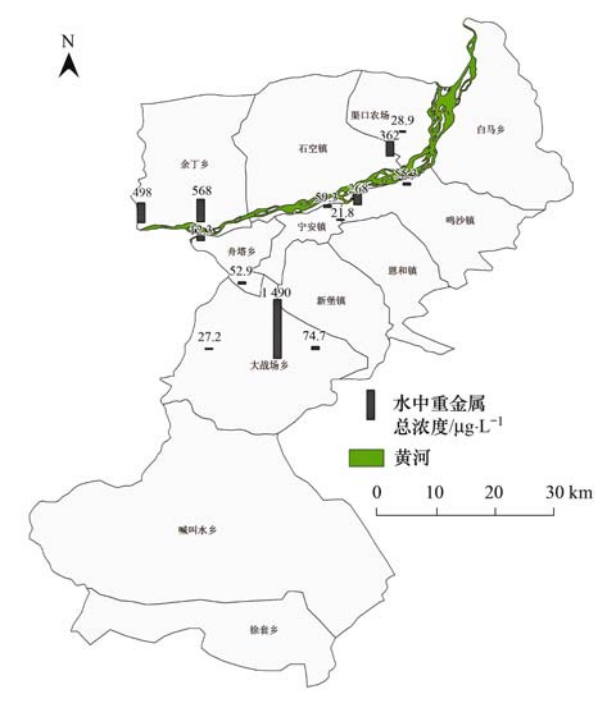


图 3 灌溉水中重金属 Cd、Zn、Cu、Mn、 Pb、Co、Cr、Ni 总量的空间分布

Fig. 3 Spatial distribution of the total heavy metal concentrations of Cd, Zn, Cu, Mn, Pb, Co, Cr, Ni in irrigation water

表7 灌溉水中重金属浓度的统计学分布 $(n=13)/\mu g \cdot L^{-1}$

Table 7	Statistics of concentrations	of heavy	metals in irrigation v	water $(n = 13)/\mu g \cdot L$	- 1
rabic /	Statistics of Concentrations	or meavy	metais in inigation	water (n = 15)/ pag 1	

重金属	Min	25%	50%	75%	Max	Mean	SD
Cr	0. 450	1.40	2. 06	10. 7	26. 7	6. 41	7. 82
Mn	4. 73	19. 5	48. 8	342	1 269	221	350
Co	0. 180	0. 421	0.734	5. 43	18. 0	3. 34	5. 05
Ni	0. 830	1. 83	3. 29	13. 1	39. 6	8. 43	10. 9
Cu	1.02	3. 78	7. 92	13. 5	29. 8	9. 85	7. 92
Zn	5. 38	9. 47	16. 8	34. 4	78. 5	23. 9	20. 4
Cd	0.002	0.012	0.043	0. 160	0.500	0. 104	0. 136
Pb	0. 240	0. 529	1.58	9. 64	28. 1	5. 73	8.00

3 结论

- (1)枸杞地土壤中重金属元素 Zn 和 Cd 元素有一定程度累积,少数样点达到轻度污染水平;其它重金属元素如 Cr、Ni、Mn、Pb、Cu、Co 等元素没有发现明显累积.
 - (2) 工业区土壤重金属分布特征与枸杞地不
- 同,除了Ni元素以外,其余重金属元素Cr、Zn、Mn、Cd、Pb、Cu和Co元素都有一定程度的累积,其中Cd元素的累积最为明显,土壤Cd含量达到污染水平的样点占总样点数三分之一.
- (3)空间分析结果发现 Cd、Zn、Cu、Mn、和 Pb 等 5 种元素的分布与工业区位置有较强的相关性.
 - (4) 工业区的分布对灌溉水中重金属浓度有一

定影响,但是枸杞地土壤重金属含量与灌溉水相关重金属浓度之间没有明显相关性.

(5)从土壤重金属含量的角度来看,研究区的工业区还未造成农业用土地土壤重金属污染,并且由于该区域土壤的 pH 值普遍较高(平均 pH 值为8.54),因此可以认为目前还不存在农业用地土壤重金属污染问题,工业区布局对农业用地土壤中重金属累积趋势的影响较为明显,因此,有必要今后结合降尘中重金属含量的分析,进行工业区对农业用地土壤重金属累积趋势的预测.

参考文献:

- [1] 刘凤莲, 吴惠忠, 许秉忠. 宁夏部分农村土壤镉和铅含量调查[J]. 环境与健康杂志, 2013, **30**(9); 843.
- [2] 李晓慧,王洪海,高宇. 银川盆地土壤重金属元素的含量及 污染状况分析[J]. 科技信息,2012,(36):535-536.
- [3] 王秀梅. 银川市典型村庄土壤重金属污染调查与评价[J]. 农业科学研究, 2013, **34**(4): 81-83.
- [4] 王平,董亚萍,王玲. 银川市郊蔬菜种植基地土壤重金属污染状况调查与评价[J]. 科技咨询,2008,(5):149,151.
- [5] 王幼奇,白一茹,王建宇. 引黄灌区不同尺度农田土壤重金属空间分布及污染评价:以银川市兴庆区为例[J]. 环境科学,2014,35(7):2714-2720.
- [6] Ahmad J U, Goni M A. Heavy metal contamination in water, soil, and vegetables of the industrial areas in Dhaka, Bangladesh [J]. Environmental Monitoring and Assessment, 2010, 166 (1-4): 347-357.
- [7] Yayalalt-Abanuz G. Heavy metal contamination of surface soil around Gebze industrial area, Turkey [J]. Microchemical Journal, 2011, 99(1): 82-92.
- [8] Li X P, Huang C C. Environment impact of heavy metals on urban soil in the vicinity of industrial area of Baoji city, P. R. China [J]. Environmental Geology, 2007, 52(8): 1631-1637.
- [9] Nicholson F A, Smith S R, Alloway B J, et al. An inventory of heavy metals inputs to agricultural soils in England and Wales [J]. Science of the Total Environment, 2003, 311(1-3): 205-219.
- [10] 曾希柏,徐建明,黄巧云,等.中国农田重金属问题的若干 思考[J]. 土壤学报,2013,50(1):186-194.
- [11] 付亚宁, 范秀华, 邹璐, 等. 电厂周围土壤重金属空间分布与风险评价研究[J]. 中国环境监测, 2011, 27(6): 5-8.
- [12] Loska K, Wiechuła D, Korus I. Metal contamination of farming soils affected by industry[J]. Environment International, 2004, 30(2): 159-165.
- [13] Cao H C, Luan Z Q, Wang J D, et al. Potential ecological risk of cadmium, lead and arsenic in agricultural black soil in Jilin Province, China [J]. Stochastic Environmental Research and Risk Assessment, 2009, 23(1): 57-64.
- [14] 陈华勇, 欧阳建平, 马振东. 大冶有色冶炼厂附近农田镉污

- 染的现状与治理对策[J]. 土壤, 2003, 35(1): 76-79, 82.
- [15] Liu J, Zhang X H, Tran H, et al. Heavy metal contamination and risk assessment in water, paddy soil, and rice around an electroplating plant [J]. Environmental Science and Pollution Research, 2011, 18(9): 1623-1632.
- [16] Hu Y A, Liu X P, Bai J M, et al. Assessing heavy metal pollution in the surface soils of a region that had undergone three decades of intense industrialization and urbanization [J]. Environmental Science and Pollution Research, 2013, 20 (9): 6150-6159.
- [17] 樊新刚,米文宝,马振宁,等.宁夏石嘴山河滨工业园区表层土壤重金属污染的时空特征[A].见:中国自然资源学会2012年学术年会论文集[C].广州:中国自然资源学会,2013.
- [18] 吴堑虹, 戴塔根, 方建武, 等. 长沙、株洲、湘潭三市土壤中重金属元素的来源[J]. 地质通报, 2007, **26**(11): 1453-1458
- [19] Hernandez L, Probst A, Probst J L, et al. Heavy metal distribution in some French forest soils: evidence for atmospheric contamination[J]. Science of the Total Environment, 2003, 312 (1-3): 195-219.
- [20] Muller G. Index of geoaccumulation in sediments of the Rhine River[J]. Geojournal, 1969, 2(3): 108-118.
- [21] Chen H Y, Teng Y G, Lu S J, et al. Contamination features and health risk of soil heavy metals in China[J]. Science of the Total Environment, 2015, 512-513: 143-153.
- [22] Ji Y Q, Feng Y C, Wu J H, et al. Using geoaccumulation index to study source profiles of soil dust in China [J]. Journal of Environmental Sciences, 2008, 20(5): 571-578.
- [23] Shafie N A, Aris A Z, Haris H. Geoaccumulation and distribution of heavy metals in the urban river sediment [J]. International Journal of Sediment Research, 2014, 29(3): 368-377.
- [24] Wei Z Y, Wang D F, Zhou H P, et al. Assessment of soil heavy metal pollution with principal component analysis and geoaccumulation index [J]. Procedia Environmental Sciences, 2011, 10: 1946-1952.
- [25] Luo W, Wang T Y, Lu Y L, et al. Landscape ecology of the Guanting Reservoir, Beijing, China: multivariate and geostatistical analyses of metals in soils [J]. Environmental Pollution, 2007, 146(2): 567-576.
- [26] Wang M E, Markert B, Chen W P, et al. Identification of heavy metal pollutants using multivariate analysis and effects of land uses on their accumulation in urban soils in Beijing, China[J]. Environmental Monitoring and Assessment, 2012, 184 (10): 5889-5897.
- [27] Zhang C S. Using multivariate analyses and GIS to identify pollutants and their spatial patterns in urban soils in Galway, Ireland[J]. Environmental Pollution, 2006, 142(3): 501-511.
- [28] 魏复盛,陈静生,吴燕玉,等.中国土壤元素背景值[M]. 北京:中国环境科学出版社,1990.330-445.

HUANJING KEXUE

Environmental Science (monthly)

Vol. 37 No. 9 Sep. 15, 2016

CONTENTS

Temporal and Spatial Variation of Haze Pollution over China from 1960 to 2013	FU Chuan-bo TANG lia-xiang DAN Li et al. (3237)
Concentrations and Size Distributions of Water-soluble Inorganic Ions in Aerosol Particles in Taiyuan, Shanxi	9.
Characteristics of the Size Distribution of Water Soluble Inorganic Ions During a Typical Haze Pollution in the Autumn in Shijiazhuang	
Variation of Size Distribution and the Influencing Factors of Aerosol in Northern Suburbs of Nanjing	
Characteristics of Black Carbon Aerosol and Influencing Factors in Northern Suburbs of Nanjing	
Characteristics of Speciated Atmospheric Mercury in Chongming Island, Shanghai	
Total Gaseous Mercury and Mercury Emission from Natural Surface at One Typical Agricultural Region in Three Gorges Reservoir	
Variation Characteristics and Sources Analysis of Atmospheric Volatile Organic Compounds in Changbai Mountain Station	
Characterization of Particle Size Distributions of the No-organized Lead Emission for a Lead and Zinc Smelter	
Hydrochemical Characteristics and Sources of Ions in Precipitation at the East Qilian Mountains	
Pollution Characteristics and Ecological Risk Assessment of Vanadium in Sediments of the Three Gorges Reservoir (Chongqing-Yichang	
Tollution Characteristics and Ecological rusic Assessment of Vanadium in Sculments of the Three Gorges Reservoir (Chongqing-Tichang	
Distributions of Arsenic Species in Different Eutrophic Waters of Lake Taihu and Their Relations to Environmental Factors	
Spatial, Temporal Distribution Characteristics and Potential Risk of PPCPs in Surface Sediments from Taihu Lake	
Distribution Characteristics and Source Identification of Organochlorine Pesticides in the Karst Groundwater System	
Comparison on the Hydrogeochemical Characteristics of Typical Karst Groundwater System in Southwest China, a Case of Qingmuguan	
companion on the Frydrogeochemical characteristics of Typical Raist Orollandrater System in Southwest China, a Case of Vanganagaan	ZHAN Zhao-ium CHEN Feng YANG Ping-heng et al. (3365)
Fractions and Release Risk of Phosphorus in Surface Sediments of Three Headwater Streams with Different Styles of Water Supply	
Vertical Variation of Phosphorus Forms in Lake Dianchi and Contribution to Release	
Analysis of Distribution Characteristics and Source of Dissolved Organic Matter from Zhoucun Reservoir in Summer Based on Fluoresce	_
Analysis of distribution characteristics and source of dissolved organic matter from Zhoucun reservoir in Summer dased on Proofesce HU/	INC Ting line FANC Kei kei ZHANC Chun hue et al. (3304)
Absorption and Reflection Characteristics of Black Water Blooms in the Eutrophic Water	
•	
Assessment of Ecosystem Health of Baogang Tailings Groundwater Based on Microbiome Index of Biotic Integrity (M-IBI)	
Relationship Between Landscape Pattern and Spatial Variation of Heavy Metals in Aquatic Sediments in Headwaters Area of Yuqiao Re	Servoir
Effect of Constructed Wetland Configuration on the Removal of Nitrogen Pollutants and Antibiotics in Aquaculture Wastewater	
Effects of a Symbiotic Bacterium on the Accumulation and Transformation of Arsenate by Chlorella salina	
Effects of Nitrate in Water on the Growth of Iris pseudacorus L. and Its Adsorption Capacity of Nitrogen in a Simulated Experiment	
Adsorption Behavior of p-hydroxy Biphenyl onto Sediment of the Yellow River in Lanzhou	
Enhanced Pollutants Removal in a Municipal Wastewater Treatment Plant with Multistage A/O Process	
Performance of Nanofiltration for Improving the Drinking Water Quality in a Water Supply Plant with Micropolluted Water Resource	
Reaction Kinetics and Impacting Mechanism of Cr(VI) Removal in Fe ⁰ -PRB Systems	
Adsorption Cd ^{2 +} from Solution by EDTA-modified Silicate Nanoparticles	9. 4
Analysis and Characterization of Multi-modified Anodes via Nitric Acid and PPy/AQDS in Microbial Fuel Cells	
Adsorption Characteristics of Phosphorus Wastewater on the Synthetic Ferrihydrite	• • • • • • • • • • • • • • • • • • • •
Performance of Bio-zeolite Constructed Wetland in Dispersed Swine Wastewater Treatment	
Polyhydroxyalkanoate (PHA) Synthesis by Glycerol-based Mixed Culture and Its Relation with Oxygen Uptake Rate (OUR)	
Kinetics and Mechanistic Investigation of the Photocatalytic Degradation of Clothianidin	
Impacts of Industrial Zone in Arid Area in Ningxia Province on the Accumulation of Heavy Metals in Agricultural Soils	
Pollution Characteristics and Health Risk Assessment of Polycyclic Aromatic Hydrocarbons in the Surface Soils of a Large Steel enterpr	ise in the North of China
	DONG Jie, HUANG Ying, LI Yong-xia, et al. (3540)
Vertical Distribution of Heavy Metals and Its Response to Organic Carbon in Red Soil Profile	···· JIA Guang-mei, MA Ling-ling, XU Dian-dou, et al. (3547)
Provoking Effects of Exogenous Zn on Cadmium Accumulation in Rice	···· GU Jiao-feng, YANG Wen-tao, ZHOU Hang, et al. (3554)
Effect of Modified Biochars on Soil Cadmium Stabilization in Paddy Soil Suffered from Original or Exogenous Contamination	······ YANG Lan, LI Bing, WANG Chang-quan, et al. (3562)
Performance of Bioleaching Combined with Fenton-like Reaction in Heavy Metals Removal from Contaminated Soil · · · · · · · · · · · · · · · · · · ·	ZHOU Pu-xiong, YAN Xie, YU Zhen, et al. (3575)
Effect of Long-term Oil Contamination on the Microbial Molecular Ecological Networks in Saline-alkali soils	ZHAO Hui-hui, XIAO Xian, PEI Meng, et al. (3582)
Effect of Nitrogen Deposition on Soil Microbial Community Structure Determined with the PLFA Method Under the Masson Pine Forest	
	ZENG Qing-ping, HE Bing-hui (3590)
Fungal Community Structure of Different Degeneration Deyeuxia angustifolia Wetlands in Sanjiang Plain	SUI Xin, ZHANG Rong-tao, XU Nan, et al. (3598)
Short-term Effects of Nitrogen and Sulfate Addition on CH ₄ and CO ₂ Emissions in the Tidal Marsh of Min River Estuary ········	
Variation of Soil CO ₂ Flux and Environmental Factors Across Erosion-Deposition Sites Under Simulation Experiment	
Interannual Variations of Soil Respiration and Its Temperature Sensitivity in an Orchard in Jinci Region of Taiyuan City	
Influence of Biochar on Greenhouse Gases Emissions and Physico-chemical Properties of Loess Soil	
Effects of Elevated Ozone and Nitrogen Deposition on Photosynthetic Characteristics and biomass of Populus cathayana	
Effects of Canopy Temperature on Carbon Dioxide Exchange of Winter Wheat in Taiyuan Basin	
Composition and Evolution Characteristics of Dissolved Organic Matter During Composting Process	
Effects of Acidic and Basic Modification on Activated Carbon for Adsorption of Toluene	
F	0, 0, 110 110 110 110 110 110 110 110 11

《环境科学》第6届编辑委员会

主 编:赵进才

副主编:赵景柱 郝吉明 田 刚

编 委:(按姓氏笔画排序)

万国江 王华聪 王凯军 王绪绪 田 刚 田 静 史培军

朱永官 刘志培 刘 毅 汤鸿霄 孟 伟 周宗灿 林金明

赵进才 赵景柱 姜 林 郝郑平 郝吉明 聂永丰 黄 霞

黄耀鲍强潘纲潘涛魏复盛

环维种草

(HUANJING KEXUE)

(月刊 1976年8月创刊)

2016年9月15日 第37卷 第9期

ENVIRONMENTAL SCIENCE

(Monthly Started in 1976)

Vol. 37 No. 9 Sep. 15, 2016

主	管	中国科学院	Superintended	by	Chinese Academy of Sciences
主	办	中国科学院生态环境研究中心	Sponsored	by	Research Center for Eco-Environmental Sciences, Chinese
协	办	(以参加先后为序)			Academy of Sciences
		北京市环境保护科学研究院	Co-Sponsored	by	Beijing Municipal Research Institute of Environmental
		清华大学环境学院			Protection
主	编	赵进才			School of Environment, Tsinghua University
编	辑	《环境科学》编辑委员会	Editor-in -Chief		ZHAO Jin-cai
>m	14	北京市 2871 信箱(海淀区双清路	Edited	by	The Editorial Board of Environmental Science (HUANJING
		18 号,邮政编码:100085)			KEXUE)
		电话:010-62941102,010-62849343			P. O. Box 2871, Beijing 100085, China
		传真:010-62849343			Tel:010-62941102,010-62849343; Fax:010-62849343
		E-mail; hjkx@ rees. ac. cn			E-mail; hjkx@ rcees. ac. cn
		http://www.hjkx.ac.cn			http://www.hjkx.ac.en
出	版	4 学 出 厳 社	Published	by	Science Press
	142	北京东黄城根北街 16 号			16 Donghuangchenggen North Street,
		邮政编码:100717			Beijing 100717, China
印刷装	订	北京北林印刷厂	Printed	by	Beijing Bei Lin Printing House
发	行	斜学出版社	Distributed	by	Science Press
		电话:010-64017032			Tel:010-64017032
		E-mail:journal@mail.sciencep.com			E-mail; journal@ mail. sciencep. com
订 购	处	全国各地邮电局	Domestic		All Local Post Offices in China
国外总发	行	中国国际图书贸易集团有限公司	Foreign		China International Book Trading Corporation (Guoji
		(北京 399 信箱)			Shudian), P. O. Box 399, Beijing 100044, China

中国标准刊号: ISSN 0250-3301 CN 11-1895/X

国内邮发代号: 2-821

国内定价:120.00元

国外发行代号: M 205

国内外公开发行